

有限温度2ループ有効ポテンシャルに対する 再和法の改善と一次相転移

佐賀大学理工学部

船久保公一

共同研究者

韓国KIAS 瀬名波栄問

2012年9月11日@京都産業大学

Motivation

電弱相転移(EWPT)の振舞

Higgs期待値を変数とする有効ポテンシャルの計算

有限温度の摂動計算の問題点

- 結合定数のベキ展開が必ずしも良くない
 - 最も温度依存性の大きなthermal massを取り込む
 - resummed perturbation or optimized perturbation
- ループ積分がnoncovariant, 解析的にできない
 - Hard Thermal Loop approximation
 - ループ積分のHigh Temperature Expansion (HTE)

'resummation'

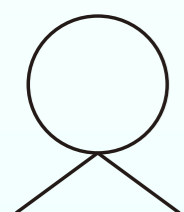
Parwani, PRD45; Arnold-Espinosa, PRD47; Chiku-Hatsuda, PRD58

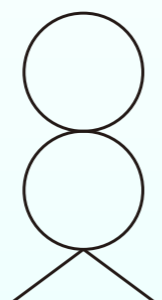
e.g. ϕ^4 -theory

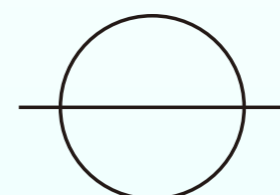
2点関数(mass²)への温度補正

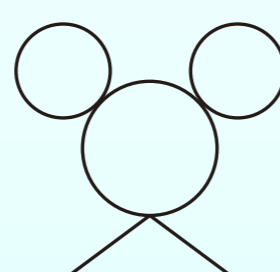
(高温展開)

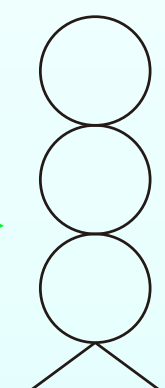
$$a = \frac{m}{T} \ll 1$$

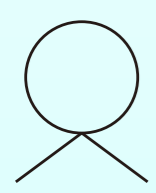

 $\propto \lambda T^2$


 $\sim \lambda T^2 \frac{\lambda T}{m}$


 $\sim \lambda T^2 \lambda \log \frac{T}{m}$


 $\sim (\lambda T^2)^2 \frac{\lambda T}{m^3}$


 $\sim \lambda T^2 \left(\frac{\lambda T}{m} \right)^2$



1つの因子について $\frac{\lambda T^2}{m^2}$ のべき

$\therefore T \gtrsim \frac{m}{\sqrt{\lambda}}$ で近似は無効

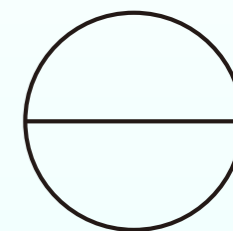
m^2 に対する λT^2 のleading correctionを取り入れる

$$\mathcal{L}_B = \mathcal{L}_R + \mathcal{L}_{CT} \longrightarrow \mathcal{L}_B = \mathcal{L}_R - \frac{1}{2} \Delta_T m^2 \phi^2 + \boxed{\mathcal{L}_{CT} + \frac{1}{2} \Delta_T m^2 \phi^2}$$

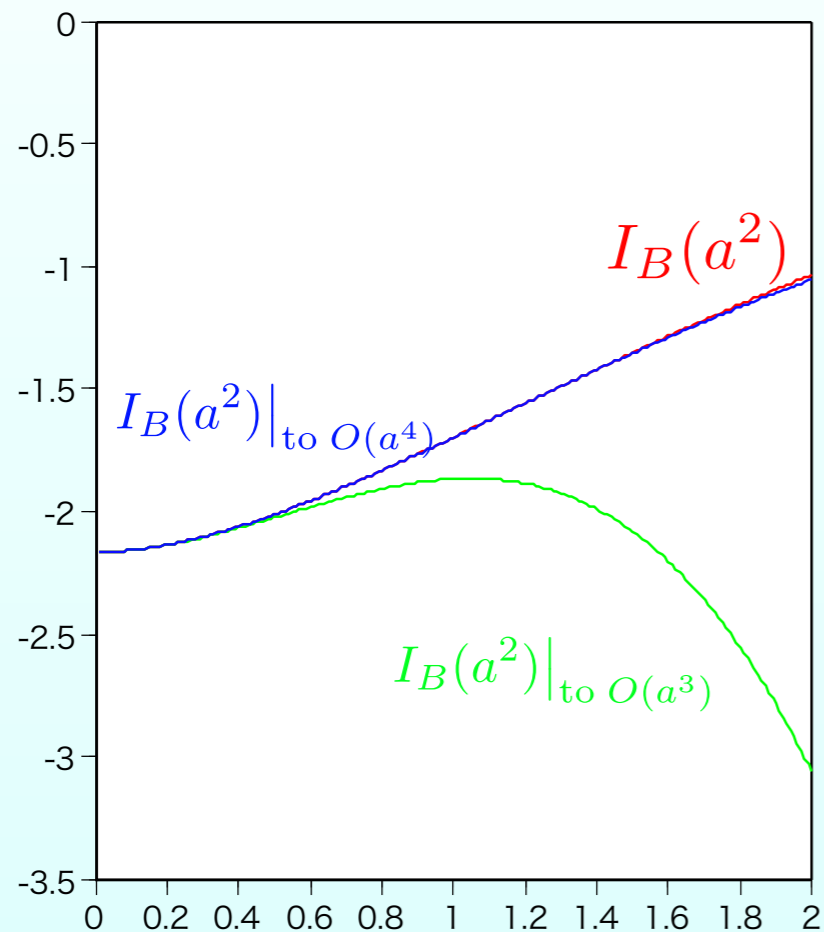
new counterterm

● 高温展開がよろしくない

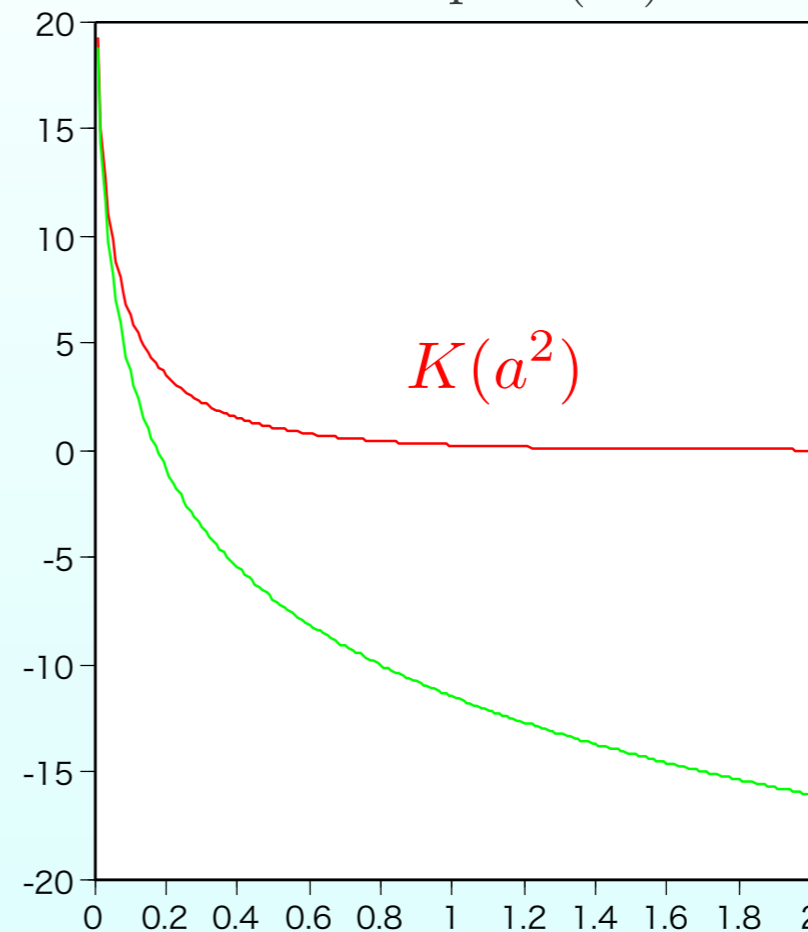
SUSY-SMのEWPTでは、stop-stop-gluonのsunset diagramの寄与が一次転移を強くする Espinosa, NPB475



1-loop $I_B(a^2)$



2-loop $K(a^2)$



$$I_B(a^2) \simeq -\frac{\pi^4}{45} + \frac{\pi^2}{12}a^2 - \frac{\pi}{6}a^3 - \frac{a^4}{16} \left(\log \frac{a}{4\pi} + \gamma_E - \frac{3}{4} \right)$$

$$K(a^2) \simeq -\frac{\pi^2}{3} (\log(a^2) + 3.48871)$$

QCDのようにスケールがない場合はよいが、EWPTで興味があるのは、 $v_c/T_c=1$ の辺り

● 温度に依存した発散が繰り込めるか？

HTEではT-dep. divergenceは無視している

HTEを使わずに、T-dep. div.を処理して有限項を抽出したい

● ゲージ場では縦波・横波で**thermal mass**が異なる

$$D_{\mu\nu}(p) = \frac{-1}{p^2 - M^2} P_{\mu\nu} \quad P_{\mu\nu} \equiv g_{\mu\nu} - \frac{p_\mu p_\nu}{p^2}$$

$$D_{\mu\nu}(p) = \frac{-1}{p^2 - M_T^2} T_{\mu\nu} + \frac{-1}{p^2 - M_L^2} L_{\mu\nu}$$

$$T_{00} = T_{0i} = T_{i0} = 0, \quad T_{ij} = g_{ij} - \frac{p_i p_j}{-p^2} \quad L_{\mu\nu} = P_{\mu\nu} - T_{\mu\nu}$$

$$M_T^2 = M_0^2 + \Delta_T M_T^2 \quad M_L^2 = M_0^2 + \Delta_T M_L^2$$

$$M_0^2 = m_W^2(v), m_Z^2(v) \quad \text{for the weak bosons}$$

$$M_0^2 = 0 \quad \text{for the photon and gluons}$$

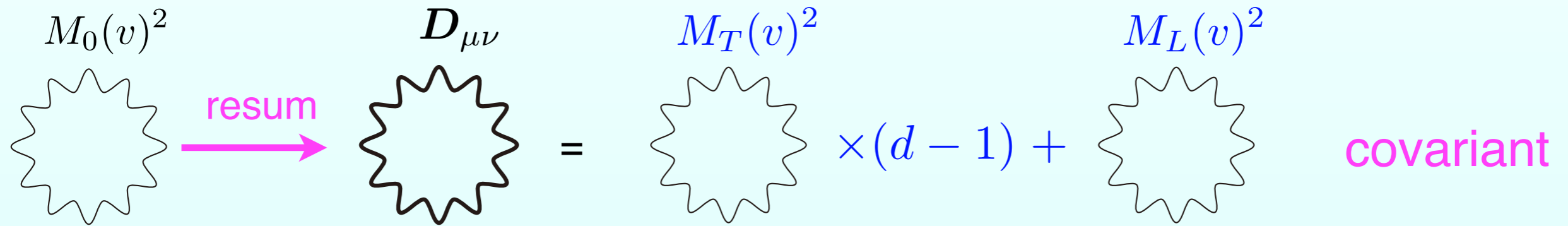
perturbation based on

$$\mathcal{L}_B = \mathcal{L}_R + \frac{1}{2} \Delta_T M_T^2 A^\mu T_{\mu\nu}(i\partial) A^\nu + \frac{1}{2} \Delta_T M_L^2 A^\mu L_{\mu\nu}(i\partial) A^\nu + \mathcal{L}_{CT} - \dots$$

→ resummed propagator $D_{\mu\nu}(p) = \frac{-1}{p^2 - M_T^2} T_{\mu\nu} + \frac{-1}{p^2 - M_L^2} L_{\mu\nu}$

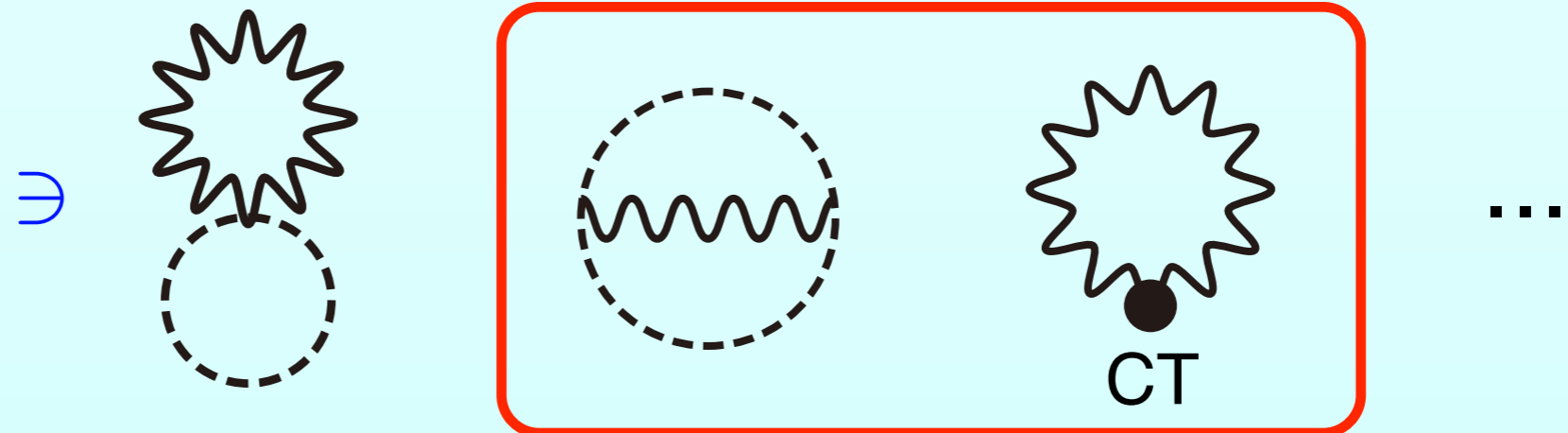
Effective potential: $V_{\text{eff}}(v; T)$

$$d = 4 - \epsilon$$



有限温度なのでループ積分はnon-covariant

resummed
2-loop contribution



non-covariant!

$$D_{\mu\nu}(p) = \frac{-1}{p^2 - M_T^2} T_{\mu\nu} + \frac{-1}{p^2 - M_L^2} L_{\mu\nu} \quad (\forall r \in \mathbf{R})$$

$$= \underbrace{\left(\frac{-r}{p^2 - M_T^2} + \frac{-(1-r)}{p^2 - M_L^2} \right)}_{\text{covariant}} P_{\mu\nu} + \underbrace{\left(\frac{-1}{p^2 - M_T^2} - \frac{-1}{p^2 - M_L^2} \right)}_{\text{less UV-divergent}} \underbrace{(T_{\mu\nu} - rP_{\mu\nu})}_{\text{non-covariant}}$$

covariant

less UV-divergent

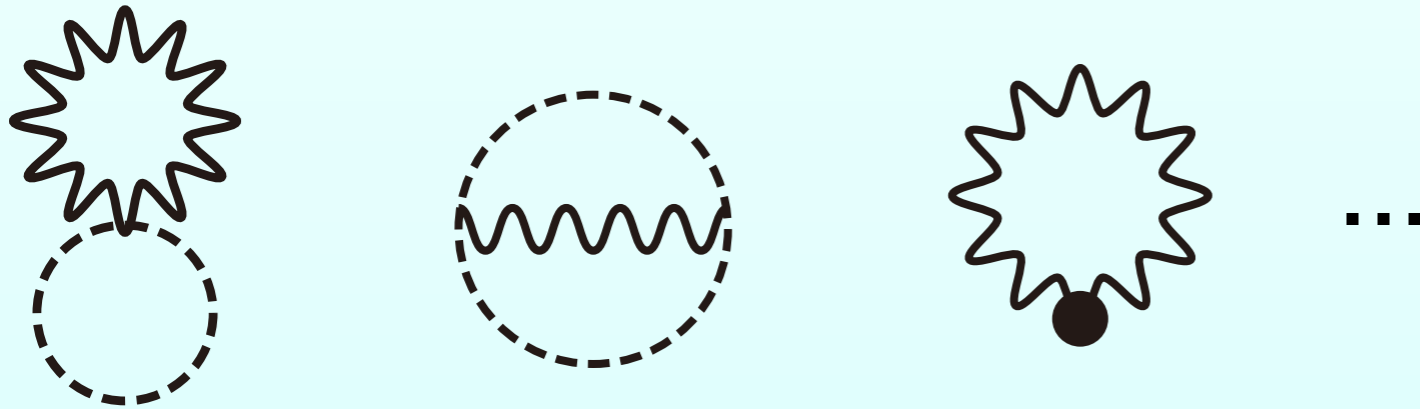
non-covariant

$$r \rightarrow \frac{d-2}{d-1}$$

$$= \underbrace{\frac{1}{d-1} \left(\frac{-(d-2)}{p^2 - M_T^2} + \frac{-1}{p^2 - M_L^2} \right)}_{D_{\mu\nu}^{\text{cov}}(p)} P_{\mu\nu} + \underbrace{\left(\frac{-1}{p^2 - M_T^2} - \frac{-1}{p^2 - M_L^2} \right)}_{\delta D_{\mu\nu}(p)} \left(T_{\mu\nu} - \frac{d-2}{d-1} P_{\mu\nu} \right)$$

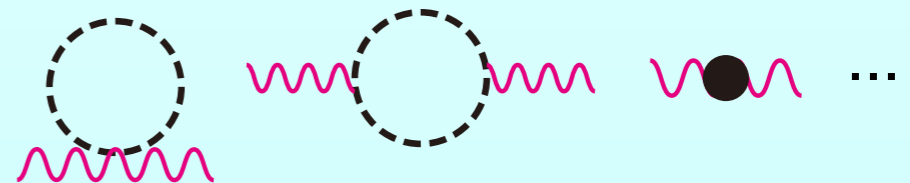
$D_{\mu\nu}^{\text{cov}}(p)$

$\delta D_{\mu\nu}(p)$



$$= \boxed{\text{diagrams}} + \frac{1}{2} \not\int_q [\Gamma^{\mu\nu}(q) + \Gamma_{\text{CT}}^{\mu\nu}(q)] \delta D_{\mu\nu}(q)$$

従来の処方で繰り込み可能



$$\frac{1}{2} \not\int_q \left[\Gamma^{\mu\nu}(q) + \Gamma_{\text{CT}}^{\mu\nu}(q) \right] \delta D_{\mu\nu}(q)$$

★ finite

★ subleading of the HTE $\because -\Delta_T m_T^2 T^{\mu\nu} - \Delta_T m_L^2 L^{\mu\nu} \in \Gamma_{\text{CT}}^{\mu\nu}$

被積分関数はnon-covariantな $\delta D_{\mu\nu}(q)$ を含むが、tensor structureはsimple

\because 一般にゲージ場 2 点関数は次の形：

$$\Gamma^{\mu\nu}(q) + \Gamma_{\text{CT}}^{\mu\nu}(q) = \Pi_0(q^2) P^{\mu\nu} + \Delta\Pi_T(q^0, \mathbf{q}) T^{\mu\nu} + \Delta\Pi_L(q^0, \mathbf{q}) L^{\mu\nu}$$

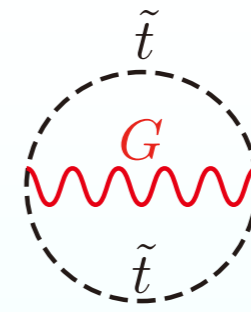
$$P^{\mu\nu} \delta D_{\mu\nu} \propto T^\mu_\mu - \frac{d-2}{d-1} P^\mu_\mu = 0$$

$$T^{\mu\nu} \delta D_{\mu\nu} = -L^{\mu\nu} \delta D_{\mu\nu} = \frac{d-2}{d-1} \left(\frac{-1}{q^2 - M_T^2} - \frac{-1}{q^2 - M_L^2} \right)$$

$$\longrightarrow \frac{1}{2} \frac{d-2}{d-1} \not\int_q (\Delta_T \Pi_T(q) - \Delta_T \Pi_L(q)) \left(\frac{-1}{q^2 - M_T^2} - \frac{-1}{q^2 - M_L^2} \right) \quad \text{finite !}$$

Model: abelian-Higgs + “stop-gluon”

extra $U(1)$

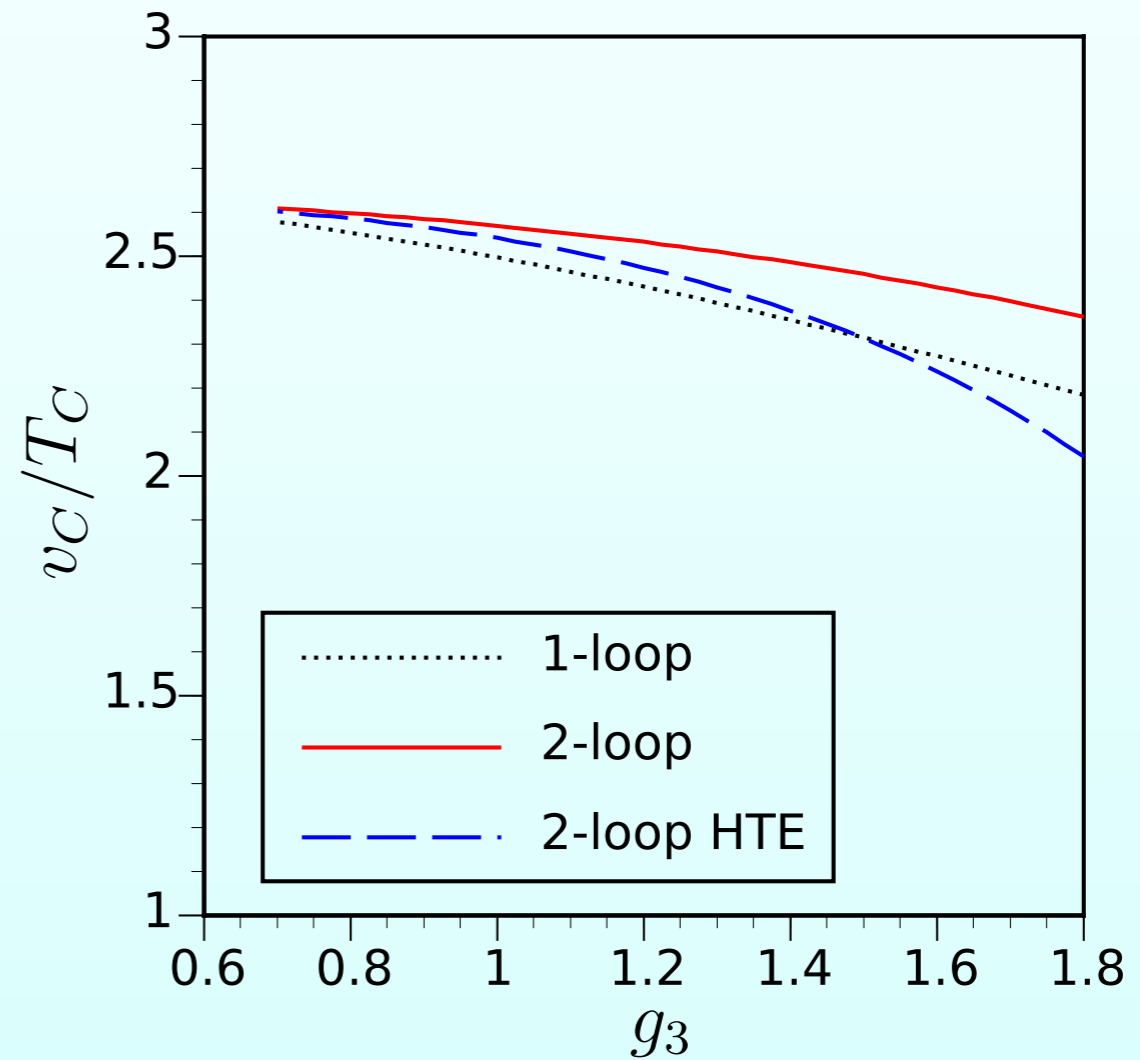
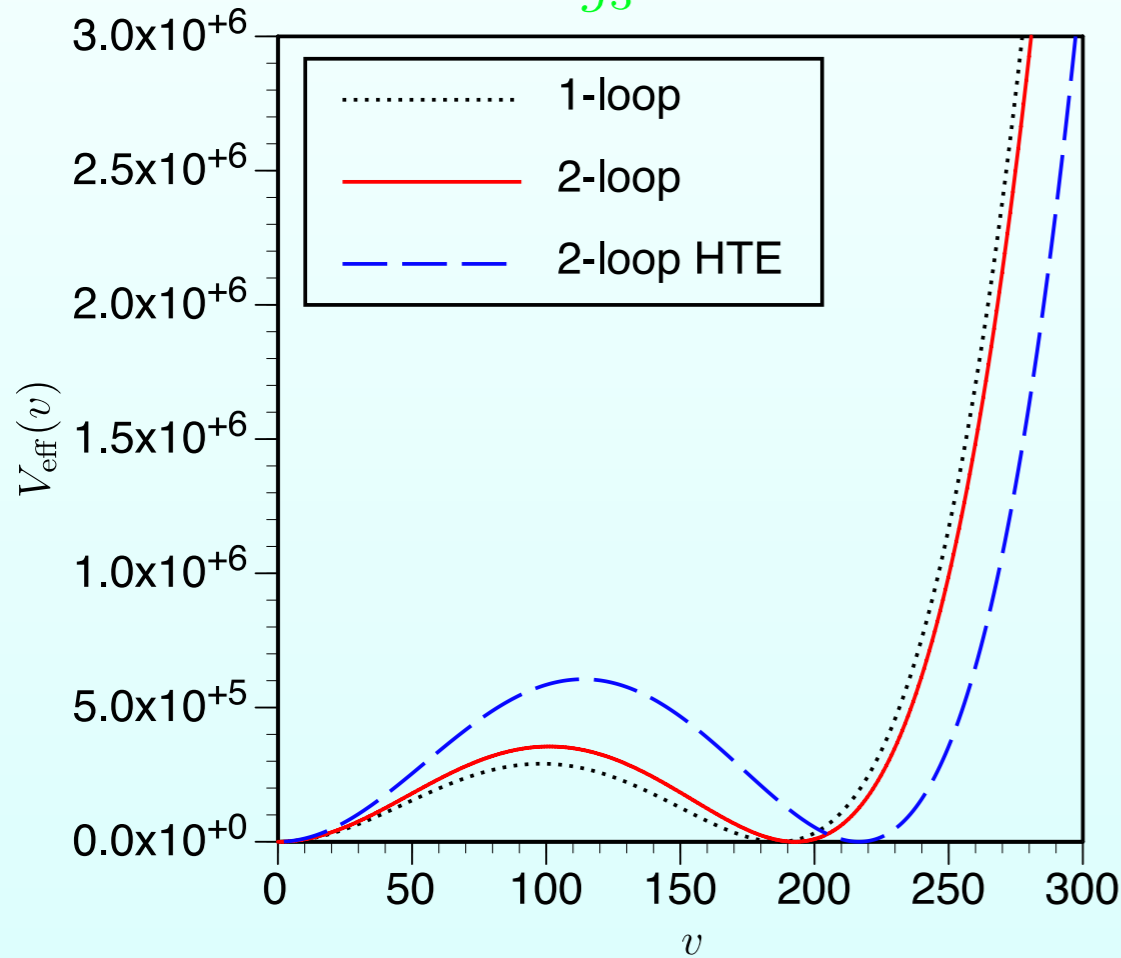


の効果を見る

$$m_{\tilde{t}}^2(v) = m_0^2 + \frac{T^2}{12} (3g_3^2 + y_t^2 + \lambda_t) + \frac{y_t^2}{2} v^2$$

$$v_0 = 246\text{GeV}, m_h = 35\text{GeV}, e = 0.5, m_0 = 0, y_t = 1, \lambda_t = 0.3$$

$$g_3 = 1.2$$



	v_C (GeV)	T_C (GeV)
1-loop	186.5	76.8
2-loop	192.7	76.1
2-loop HTE	216.6	87.5

2-loopが v_C/T_C をenhance
 g_3 が大きいと thermal massも大

Summary

- SM, SUSY-SM, ...における電弱相転移を、HTEを使わずに2-loopレベルで解析する手法を確立した

gauge boson thermal massのresummationを工夫して、covariantなループ被積分関数とnon-covariantな有限項に分離

2-loopに限らず、一般的に示せないか検討

- MSSM-like modelの数値解析

2-loop補正が相転移点での v_c/T_c を大きくするケースを見たが、他のパラメータ領域では逆のケースもある。

MSSM, NMSSMの現実的なパラメータ領域での数値解析